# 试论绳索取心绞车与钻石—300型 钻机的坑内布局问题

#### 陈勤坚

(武钢大冶铁矿)

钻石一300型全液压坑道钻机绳索取心绞车的原布局方案,占地面积大,且钻机受力不合理,影响了钻机的稳定性。文中介绍了一种新的布局方案。计算和实践均证明该方案具有许多优越性。

关键词:钻石一300型钻机;绳索取心绞车;坑内布局

钻石一300型全液压坑道钻机与绳索取心工艺相配合,充分显示了矿山坑道金刚石钻探技术的优越性。但是,由于绳索取心绞车的安装布局问题一直没有妥善解决,致使这项新技术的先进性未能充分发挥。

在生产实践中,对钻机和与其配套的绳索取心绞车的布局问题,提出了以下3方面的要求:(1)绞车本身结构简单,工作可靠,且与主机布局合理,最好能融为一体,目的是在施工不同倾角的钻孔时,省去安装和某些操作工序,缩短辅助时间,提高钻探效率;(2)在施工不同倾角的钻孔时,绞车与主机的布局应尽量使系统的受力均匀合理,既不影响绞车的正常工作,也不影响 主机 机架;(3)绞车操作手把应与钻机操作手把集中一起,以方便操作与控制,而不需增加附属设备。

主机与绞车的原整体布局不合理,受力不均, 安装麻烦,操作不便,而且占地面积大,甚至发生 过拉倒绞车的情况。1985年,我们重新考虑了绞车 与主机的布局,并对原绞车进行了改装,收到了较 好的效果。

## 结构简介

1. 生机部分(图1) 绞车由摆线与马达(1)、绞车座架(2)、卷筒(3)、滑轮(4、5)和滑轮座架(6)等组成。绞车主体通过绞车座架(2)由螺栓固定在钻机给进机架(7)下部的滑撬形钢管上,使绞车和主机结合为一体,实现了绞车的机装化布局。如果钻机搬迁需拆下绞车,只要卸开螺栓,绞车与主机即可解体,整个过程简

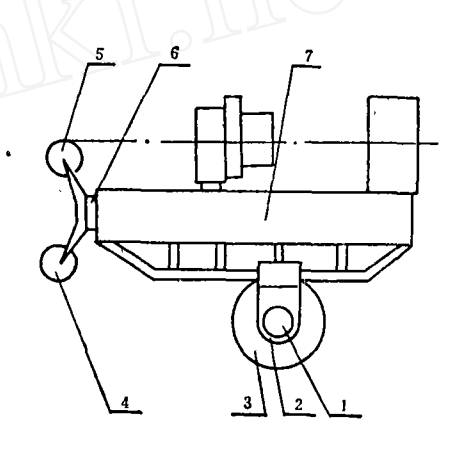


图 1 绞车与主机布局示意图

单方便。滑轮有前后两个,由滑轮座架(6)固定在给进机架(7)的壳体上端,由于导正钢绳。该滑轮座架由可转动且能定位的装置与壳体联接。打捞内管总成时,钢绳绕过滑轮导正,使打捞器进入钻杆内并捞取内管,正常钻进和上、下钻时,可把滑轮转90°角,以让开轴线位置,避免上下运动的钻杆撞击滑轮。

2. 操作控制部分 绞车的操作控制部分,具有绞车与钻机不同时工作的特点,故在液压系统中接出一根油管,构成绞车油路系统。具体方案是在油泵输出的主油路上增加一个方向控制阀,将高压油分别通向主机油路和绞车油路,使钻机工作与取心工序方便地转换,互不干扰。另外,绳索取心绞车、方向阀与主机的操作手把集中于一处,操作者既能方便地控制主机手把,又能控制油路换向以驱动绞车。

#### 受力分析

1. 改装前布局的受力分析 改装前,绞车和 主机在施工下斜孔(图2)和水平孔时(图3)的 受力分析如下:

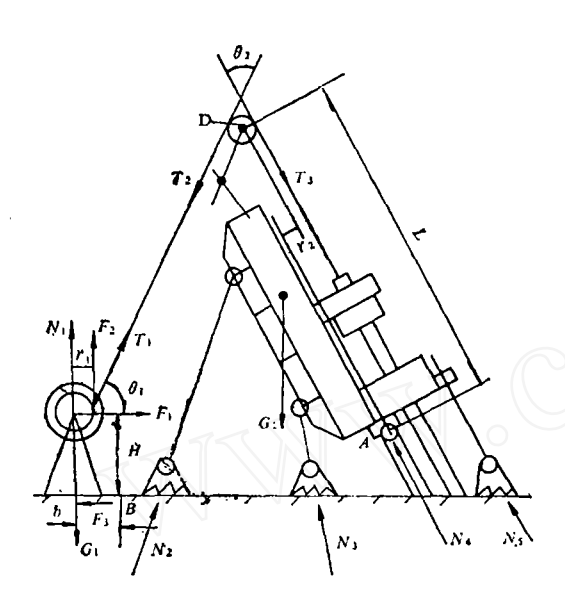


图 2 下斜孔原绞车与钻机受力简图

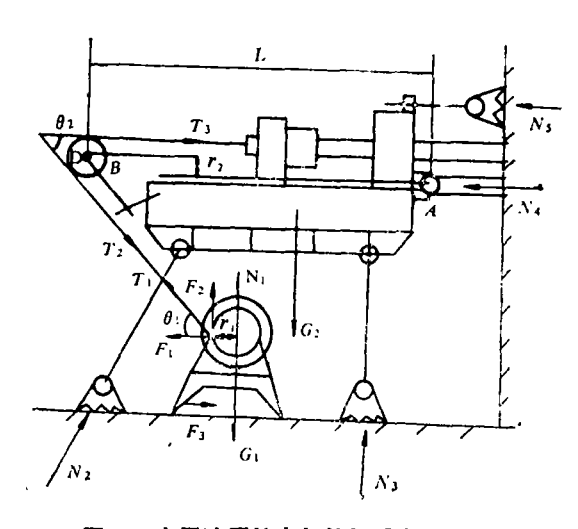


图 3 水平孔原绞车与钻机受力简图

(1) 绞车的受力与稳定 作用于绞车上的力 有重力G, 地面支承力N, 钢绳拉力T, 摩擦力  $F_s$ 。设T,与水平方向成一夹角 $\theta$ ,,绞车座架与地面 的摩擦系数为f,则T。在水平方向及垂直方向的分 力分别为:

$$F_1 = T_1 \cos \theta_1$$
 $F_2 = T_1 \sin \theta_1$ 
地面支承力为:  $N_1 = G_1 - F_2$ 
 $= G_1 - T_1 \sin \theta_1$ 
摩擦力为:  $F_3 = N_1 f$ 
 $= (G_1 - T_1 \sin \theta_1) f$ 

摩擦力为:

由此可见,T,在水平方向及垂直方向的分力F, 和 $F_2$ 是导致绞车拉倒的原因,由力平衡原理,应先 出现滑动,其临界条件是:

$$|F_1| = |F_3|$$
即:  $|T_1\cos\theta_1| = |G_1 - T_1\sin\theta_1| f$ 
 $T_1 = G_1 f/(\cos\theta_1 + f\sin\theta_1)$ 
在实际中  $G_1 = 75 \text{kgf}$ , 若 $\theta_1 = 45^\circ$ ,  $f = 0.9$ , 则
 $T_1 = 75 \times 0.9/(\cos45^\circ + 0.9\sin45^\circ)$ 
 $= 50.24(\text{kgf})$ 
 $F_1 = F_2$ 
 $= 50.24 \times \sin45^\circ$ 
 $= 35.53(\text{kgf})$ 
 $F_3 = F_1$ 
 $= 35.53(\text{kgf})$ 

计算表明, $T_1 = 50.24 \text{kgf}$  时,绞车将有滑动趋 势,在正常条件下,岩心内管总成及岩心总重量不 超过12kgf,即使提升速度较快,也不会出现这种 情况。但是,一旦提升阻力较大(如打捞器安全装 置的设计),  $T_{\text{Imax}} = 275 \sim 350 \text{kgf}$ , 必然会出现这种

当绞车向 $F_1$ 方向滑动时, $\theta_1$ 将增大, $\cos\theta_1$ 值减 小,那么F,和F,减小,分别对

$$F_1 = T_1 \cos \theta_1$$
及  
 $F_3 = G_1 f - T_1 f \sin \theta_1$ 決导得:  
 $F'_1 = -T_1 \sin \theta_1$   
 $F'_2 = G_1 f - T_1 f \cos \theta_1$ 

可见, $F_a$ 减小的应度要比 $F_a$ 慢,最终必趋干:  $F_3 > F_1$ , 绞车不再滑动。因此, 在力 $F_1$ 和 $F_2$ 的作用 下, 将增加以 B 为中心的转动 (图 4), 因而有可 能产生拉倒现象。在绞车即将被拉倒的瞬间, $N_1$ 可 看作全部集中于B点上,对于转动中心B有:

$$M_1 = F_1 H$$
 (顾时针)
 $M_2 = F_2 (b - r_1)$  (顺时针)
 $M_3 = G_1 b$  (逆时针)
则拉倒力矩:  $M_B = M_1 + M_2 - M_3$ 
 $= F_1 H + F_2 (b - r_1) - G_1 b$ 

式中,H——绞车中心轴离地面的高度,0.5m,

64

**b**——绞车座架底宽的一半, 0.25m; **r**<sub>1</sub>——**T**<sub>1</sub>作用点与绞车中心轴的距离,0.1m。

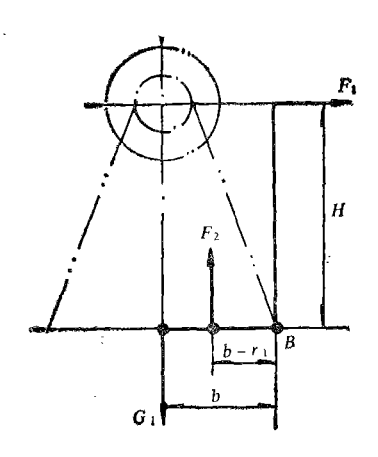


图 4 绞车工作时的力矩图

根据力矩平衡原理,当 $M_B \geqslant 0$ 时,绞车将被拉倒,其条件是:

$$F_{1}H + F_{2}(b - r_{1}) \geqslant G_{1}b$$

$$T_{1}\cos\theta_{1}H + T_{1}\sin\theta_{1}(b - r_{1}) \geqslant G_{1}b$$

$$\Leftrightarrow C = T_{1}H\cos\theta_{1} + T_{1}(b - r_{1})\sin\theta_{1}$$

$$= T_{1}(H\cos\theta_{1} + (b - r_{1})\sin\theta_{1})$$

$$= T_{1}\sqrt{H^{2} + (b - r_{1})^{2}}\sin(\theta_{1} + \phi)$$

$$\phi = \arctan\frac{H}{b - r_{1}}$$

$$= \arctan\frac{0.50}{0.25 - 0.1}$$

$$= 73.3^{\circ}$$

式中, $\phi$ 为三角函数变换过程中的一个辅助角,其值与三角函数 $\cos\theta$ ,和 $\sin\theta$ ,前的系数有关,或者说与力矩的方向有关。因系数为正,所以 $\phi$ 在第一象限取值。

$$C = T \cdot \sqrt{0.5^{2} + (0.25 - 0.1)^{2}}$$

$$\times \sin(\theta_{1} + 73.3^{\circ})$$

$$= 0.52T_{1}\sin(\theta_{1} + 73.3^{\circ})$$

$$\nabla \qquad G_{1}b = 75 \times 0.25$$

$$= 18.75(\text{kgfm})$$

由上述计算及实际情况,一般 $\sin(\theta_1 + 73.3^\circ)$  **<**0.5,取 $\sin(\theta_1 + 73.3^\circ) = 0.5$ ,

$$C = 0.52 \times 0.5T_1 = 0.26T_1$$

即  $0.26T_1 \geqslant 18.75$  所以  $T_1 \geqslant 72.12 (kgf)$ 

由设计提供: 绞车承受的最大提升 力  $T_{\text{max}} = 275$ ~

350 kgf,远超出绞车稳定工作所允许的 $T_1$ 值(72.12 kgf),绞车必然会被拉倒,生产中也有所见。

(2) 拉力 ( $T_2$ 、 $T_3$ ) 对主机机架的影响 如图 2,作用于主机上的力有:重力 $G_2$ ,钢绳拉力 $T_2$ 和 $T_3$ ,支承力 $N_2$ 、 $N_3$ 、 $N_4$ 、 $N_5$ 。这里,由于 取 心绳架与机架可看作是刚性联接,因此, $T_2$ 、 $T_3$ 在机架上的作用点为D。取支架与锚杆的铰接点A为转动点,重力力矩方向为力矩的正方向,设D点与A点在平行于钻孔轴线方向上的距离为L,在垂直钻孔轴线方向上的距离为 $T_2$ , $T_2$  与钻孔轴线的夹角为 $\theta_2$ ,则对 $T_2$ 和 $T_3$ 分别有:

$$M_{_2}=T_{_2}L{
m sin} heta_{_2} \ M_{_3}=-T_{_3}r_{_2}$$
(负号表明 $M_{_3}$ 与重力力矩方向相反)。

式中, $M_2$ — $T_2$ 对A点的力矩,方向与重力矩相同,是影响支架稳定的因素。

 $M_s$ — $T_s$ 对A点的力矩,可抵消一部分重力力矩,对支架的稳定有利。

力矩比为: 
$$m = |M_2/M_3| = |T_2 L \sin \theta_2 / T_3 r_2|$$
  
=  $L \cdot \sin \theta_2 / r_2$ 

可见,m值的大小与拉力 ( $T_2$ 、 $T_a$ ) 无关,而与安装形式 ( $\theta_2$ 角) 及结构布局 (L、 $r_2$ ) 有关,它对机架稳定的影响,有两种情况值得讨论:

- ① m<1时,即  $|M_a|>|M_a|$ ,表明力矩 $M_a$ 除能克服力矩 $M_a$ 的一部分外,还可以抵消重力引起的部分力矩,因此,有利于机架的稳定。
- ② m>1时,即 $|M_2|>|M_3|$ ,表明力矩 $M_2$ 除抵消 $M_3$ 外,还有多余的力矩,对机架的稳定性有不利的影响。如影响较大,可引起钻孔轴线偏离,发生钻孔偏斜。m值愈大,影响也愈大。

在实际结构中,L=2m,  $r_2=0.1m$ , 若  $\theta_2$  取  $45^\circ$ , 则 $m=2\sin 45^\circ/0.1=14$ , 亦即  $M_2$  是  $M_3$  的 14 倍。所以,这种布局结构对机架稳定是不利的,也容易产生钻孔偏斜。此外,布局不合理,还需占用较多的井下空间,不便操作。对此,采取加重绞车和地面固定桩等措施,虽能有补救,会给现场施工带来不便。而较好的办法是改善钻机与绞车的布局。

2. 对新的绞车布局受力的分析 图 5 是绞车工作时的受力简图。由图可见,由于绞车与主机的特定布局,无论施工任何倾角的钻孔,绞车工作时产生的拉力 $T_1$ 、 $T_2$ 、 $T_3$ 均平行于钻孔轴线, $T_1$ 与 $T_2$  因作用在一条直线上且方向相反,而互相抵消,使

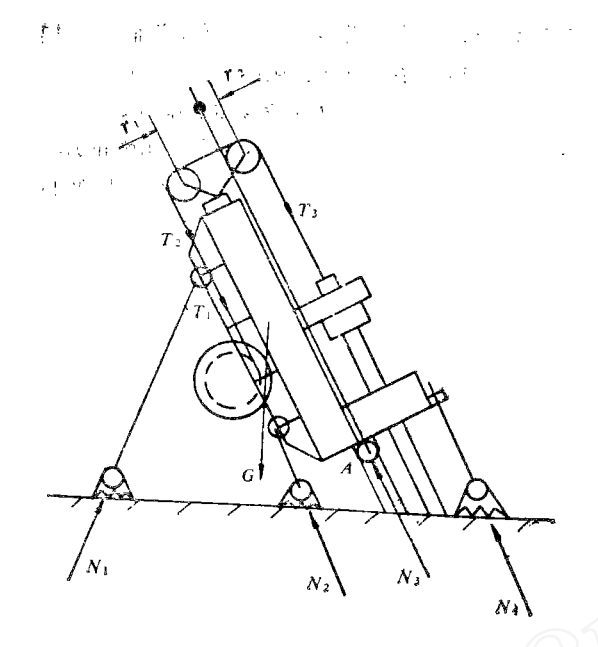


图 5 新布局的绞车和机架受力简图

受力系统简化。钢绳作用于绞车上的力,通过支架 来承担,避免了绞车被拉倒。另外,还有利于主机 机架定位与稳定。这一改善可通过力矩比 *m* 来 说 明。取锚杆与支架的铰接点A为转动点,重力矩方向为正,则 $T_1$ 、 $T_2$ 、 $T_3$ 对A的力矩分别为: $m_1=-T_1r_1$ , $M_2=T_2r_1$ , $M_3=-T_3r_2$ 。则力矩比

 $m = |M_z|/(|M_1| + |M_3|) = T_2 r_1/(T_1 r_1 + T_3 r_3)$ 由于在结构上采取了相应措施,使 $r_1 = r_2 = T_3$ 则;

$$m = T_2 r_1 / (T_1 r_1 + T_3 r_2) = 0.5$$

可见,新布局的m值比原布局的m值 (m=14) 小得多,而且是一个恒定值,所以,新布局的钻机支架在绞车工作时,能处于良好的受力状态。

#### 生产应用效果

从1985年起,我矿用改进后的绞车布局装备,进行生产钻探,至1987月4月止,其钻进30个钻孔,总进尺4556.94m,获得了满意的技术经济效果(见表)。

综上所述, 坑内绳索取心绞车与钻石一300型 全液压钻的新布局是合理的, 今后应予推广应用。

本文在编写过程中,得到了周开林、胡春钊同 志的指导,在此深表感谢。

#### 用新布局钻机所取得的部分钻进效果表

平均台月效率	最高台月效率	平均日进尺	最高日进尺	平均采取率(%)		平均孔斜率*	
(m)	(m)	(m)	(m)	岩心	矿心	直孔	斜孔
652.21	1374.58	10.04	50.59	90	90	0°49	1°51′

<sup>\*</sup> 孔斜率单位: 度/100m。

### The Layout of Wire-line Hoist and All-hydraulic Core Drilling Machine (Model 'Diamond-300'): A Discussion

Chen Qinjian

In underground drilling the present layout scheme of the wire-line hoist coupling with the Model 'Diamond 300' all hydraulic core drill is unreasonable, because of a large space occupied by these two machines and a non-stabilized drilling operation due to non-uniform forces acted upon the drill. Through calculation and practical tests it has been proved that the new method suggested has many advantages.